

Starkniederschlagshöhen und -spenden gemäß KOSTRA-DWD-2010R

Auswertungszeitraum von 1951 - 2010, Januar - Dezember

Rasterfeld: 43033

Zeile: 43

Spalte: 33

Seite: 1/2

| Dauerstufe D | Wiederkehrzeit T | | | | | | | | | | | | | | | | | | |
|--------------|------------------|------|------------|------|------------|------|------------|------|------------|------|------------|------|------------|------|------------|-------|------------|-------|------------|
| | 1 a | | 2 a | | 3 a | | 5 a | | 10 a | | 20 a | | 30 a | | 50 a | | 100 a | | |
| min | Std | mm | l / (s ha) | mm | l / (s ha) | mm | l / (s ha) | mm | l / (s ha) | mm | l / (s ha) | mm | l / (s ha) | mm | l / (s ha) | mm | l / (s ha) | mm | l / (s ha) |
| 5 | | 4,7 | 156,7 | 6,2 | 206,7 | 7,1 | 236,7 | 8,2 | 273,3 | 9,8 | 326,7 | 11,3 | 376,7 | 12,2 | 406,7 | 13,3 | 443,3 | 14,8 | 493,3 |
| 10 | | 7,6 | 126,7 | 9,7 | 161,7 | 10,9 | 181,7 | 12,5 | 208,3 | 14,6 | 243,3 | 16,8 | 280,0 | 18,0 | 300,0 | 19,6 | 326,7 | 21,7 | 361,7 |
| 15 | | 9,5 | 105,6 | 12,1 | 134,4 | 13,6 | 151,1 | 15,5 | 172,2 | 18,1 | 201,1 | 20,7 | 230,0 | 22,2 | 246,7 | 24,1 | 267,8 | 26,7 | 296,7 |
| 20 | | 10,9 | 90,8 | 13,9 | 115,8 | 15,6 | 130,0 | 17,8 | 148,3 | 20,8 | 173,3 | 23,7 | 197,5 | 25,5 | 212,5 | 27,7 | 230,8 | 30,6 | 255,0 |
| 30 | | 12,8 | 71,1 | 16,4 | 91,1 | 18,5 | 102,8 | 21,1 | 117,2 | 24,8 | 137,8 | 28,4 | 157,8 | 30,5 | 169,4 | 33,1 | 183,9 | 36,8 | 204,4 |
| 45 | | 14,4 | 53,3 | 18,8 | 69,6 | 21,4 | 79,3 | 24,6 | 91,1 | 29,0 | 107,4 | 33,4 | 123,7 | 36,0 | 133,3 | 39,2 | 145,2 | 43,6 | 161,5 |
| 60 | | 15,4 | 42,8 | 20,4 | 56,7 | 23,4 | 65,0 | 27,1 | 75,3 | 32,1 | 89,2 | 37,2 | 103,3 | 40,1 | 111,4 | 43,9 | 121,9 | 48,9 | 135,8 |
| 90 | | 17,0 | 31,5 | 22,3 | 41,3 | 25,4 | 47,0 | 29,3 | 54,3 | 34,5 | 63,9 | 39,8 | 73,7 | 42,9 | 79,4 | 46,8 | 86,7 | 52,0 | 96,3 |
| 120 | 2 | 18,3 | 25,4 | 23,7 | 32,9 | 26,9 | 37,4 | 30,9 | 42,9 | 36,3 | 50,4 | 41,8 | 58,1 | 45,0 | 62,5 | 49,0 | 68,1 | 54,4 | 75,6 |
| 180 | 3 | 20,2 | 18,7 | 25,9 | 24,0 | 29,2 | 27,0 | 33,4 | 30,9 | 39,1 | 36,2 | 44,8 | 41,5 | 48,1 | 44,5 | 52,3 | 48,4 | 57,9 | 53,6 |
| 240 | 4 | 21,8 | 15,1 | 27,6 | 19,2 | 31,0 | 21,5 | 35,3 | 24,5 | 41,2 | 28,6 | 47,0 | 32,6 | 50,5 | 35,1 | 54,8 | 38,1 | 60,6 | 42,1 |
| 360 | 6 | 24,1 | 11,2 | 30,2 | 14,0 | 33,8 | 15,6 | 38,3 | 17,7 | 44,4 | 20,6 | 50,5 | 23,4 | 54,0 | 25,0 | 58,6 | 27,1 | 64,7 | 30,0 |
| 540 | 9 | 26,6 | 8,2 | 33,0 | 10,2 | 36,7 | 11,3 | 41,4 | 12,8 | 47,8 | 14,8 | 54,2 | 16,7 | 57,9 | 17,9 | 62,6 | 19,3 | 69,0 | 21,3 |
| 720 | 12 | 28,6 | 6,6 | 35,2 | 8,1 | 39,0 | 9,0 | 43,9 | 10,2 | 50,5 | 11,7 | 57,1 | 13,2 | 60,9 | 14,1 | 65,8 | 15,2 | 72,3 | 16,7 |
| 1080 | 18 | 31,6 | 4,9 | 38,5 | 5,9 | 42,5 | 6,6 | 47,6 | 7,3 | 54,5 | 8,4 | 61,4 | 9,5 | 65,4 | 10,1 | 70,4 | 10,9 | 77,3 | 11,9 |
| 1440 | 24 | 34,0 | 3,9 | 41,1 | 4,8 | 45,2 | 5,2 | 50,5 | 5,8 | 57,6 | 6,7 | 64,6 | 7,5 | 68,8 | 8,0 | 74,0 | 8,6 | 81,1 | 9,4 |
| 2880 | 48 | 43,6 | 2,5 | 51,9 | 3,0 | 56,7 | 3,3 | 62,7 | 3,6 | 70,9 | 4,1 | 79,2 | 4,6 | 84,0 | 4,9 | 90,0 | 5,2 | 98,2 | 5,7 |
| 4320 | 72 | 50,5 | 1,9 | 59,4 | 2,3 | 64,6 | 2,5 | 71,1 | 2,7 | 80,0 | 3,1 | 88,9 | 3,4 | 94,1 | 3,6 | 100,6 | 3,9 | 109,5 | 4,2 |

Angaben in mm: Bemessungsniederschlagswerte h(n)

Angaben in l / (s ha): Regenspende R(n) mit $R(n) = h(n) \times 1,666667 / D[\text{min}]$

Toleranzbereiche:

+/- 10 % für $1 a \leq T \leq 5 a$

+/- 15 % für $5 a < T \leq 50 a$

+/- 20 % für $50 a < T \leq 100 a$

Datenbasis: KOSTRA-DWD-2010R des Deutschen Wetterdienstes. Die Regenspende wurde auf Basis des Bemessungsniederschlags zur jeweiligen Andauer berechnet.

Für die Richtigkeit und Aktualität der Angaben wird keine Gewähr übernommen. Erstellt 07/2022.

Starkniederschlagshöhen und -spenden gemäß KOSTRA-DWD-2010R

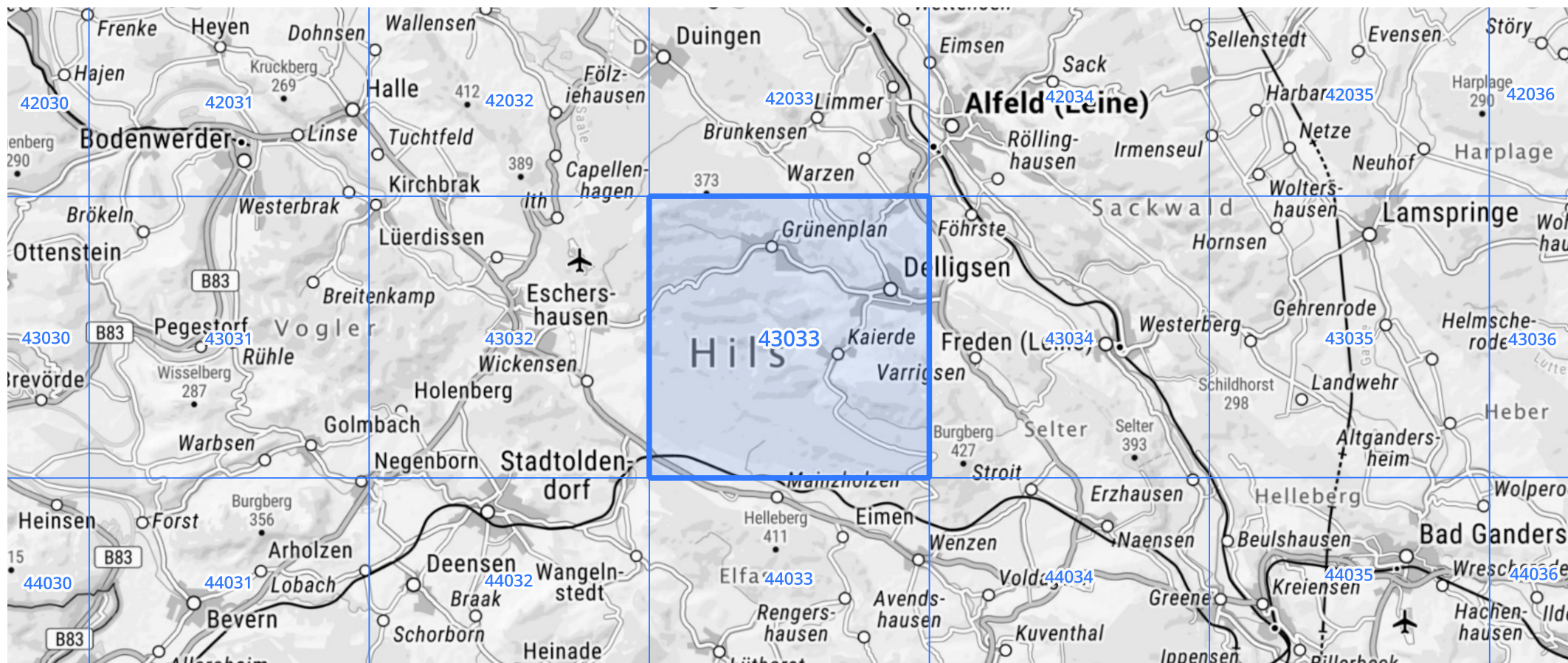
Auswertungszeitraum von 1951 - 2010, Januar - Dezember

Rasterfeld: 43033

Zeile: 43

Spalte: 33

Seite: 2/2



Quelle Rasterdaten: KOSTRA-DWD-2010R des Deutschen Wetterdienstes.

Kartendarstellung: © Bundesamt für Kartographie und Geodäsie (2022), Datenquellen: https://sgx.geodatenzentrum.de/web_public/gdz/datenquellen/Datenquellen_TopPlusOpen.html

Für die Richtigkeit und Aktualität der Angaben wird keine Gewähr übernommen. Erstellt 07/2022.